



رخساره‌های رسوبی و چینه نگاری سکانسی سازند تیرگان در شرق حوضه کپه داغ (دره خور، شمال شرق مشهد)

بتول ریوندی^{*}، مهدی نجفی^۱، سید رضا موسوی حرمی^۲، اسدالله محبوبی^۲، محمد وحیدی‌نیا^۲

۱- دانشجوی دکتری چینه شناسی و فسیل شناسی، گروه زمین شناسی، دانشکده علوم، دانشگاه فردوسی مشهد، ایران

۲- عضو هیأت علمی گروه زمین شناسی، دانشکده علوم، دانشگاه فردوسی مشهد، ایران

*پست الکترونیک: ba_rivandi@yahoo.com

تاریخ پذیرش: ۸۹/۵/۱۳

تاریخ دریافت: ۸۸/۱۰/۱۷

چکیده

سازند تیرگان به سن بارمین - آپتین زیرین در ناویدیس خور در شرق حوضه رسوبی کپه داغ، در امتداد شمال غرب - جنوب شرق گسترش دارد. این سازند به طور عمده از سنگ آهکهای آلیتی و اوریتولین دار و با میان لایه‌هایی از شیل آهکی تشکیل شده است. مرز زیرین این سازند با سازند آواری شوریجه و مرز بالایی آن با سازند سنگ آهکی - مارنی سرچشمه در ناویدیس خور به صورت هم‌شیب است. به منظور تشخیص رخساره‌های رسوبی و مطالعه چینه نگاری سکانسی سازند تیرگان، دو برش در یالهای شمال شرق و جنوب غربی ناویدیس خور برداشت و مورد مطالعه قرار گرفته است. نتایج حاصل از مطالعه نشان می‌دهد که این رسوبات در یک پلاتفرم کربناته کم عمق از نوع رمپ با پسته سدی و در چهار محیط دریایی باز، پسته سدی، لاگون و پهنه جزر و مدی بر جای گذاشته شده است. آنالیز چینه نگاری سکانسی به شناسایی دو سکانس رسوبی رده سوم در برشهای موردنظر مطالعه منجر شده است. مرزهای سکانسی در هر دو برش از نوع SB₂ هستند. منحنی تغییرات سطح آب دریا با منحنیهای جهانی در طی زمان بارمین - آپتین همخوانی نسبی دارد.

واژه‌های کلیدی: سازند تیرگان، حوضه کپه داغ، رمپ کربناته، چینه نگاری سکانسی.

مقدمه

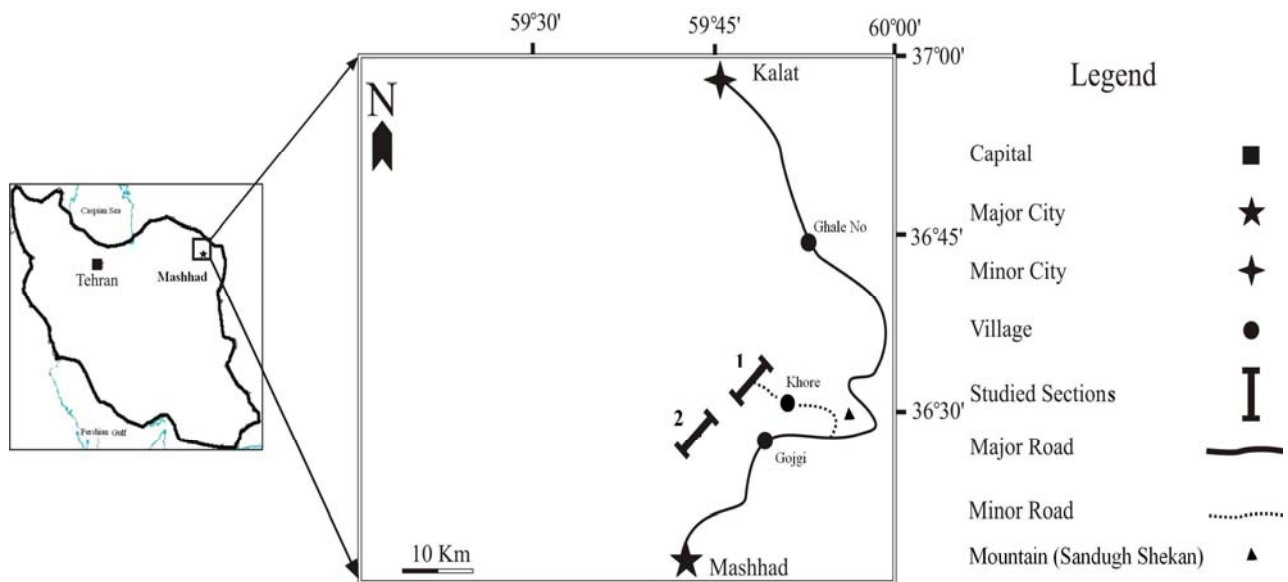
مارن و شیل آهکی تشکیل است (افشار‌حرب، ۱۳۷۳). ضخامت این سازند به تدریج از شمال غرب به جنوب شرق کاهش می‌یابد (افشار‌حرب، ۱۳۷۳). برشهای چینه شناسی مورد مطالعه در شرق حوضه، در ۵۰ کیلومتری جاده مشهد - کلات و در یالهای شمال شرقی و جنوب غربی ناویدیس خور برداشت شده که به ترتیب ۶۶ و ۵۴ متر ضخامت دارند (شکل ۱). این برش در جاده فرعی مسیر مشهد - کلات در روستای خور وسطی در حد فاصل طولهای جغرافیایی

حوضه رسوبی کپه داغ علاوه بر شمال شرق ایران، در بخش وسیعی از ترکمنستان و شمال افغانستان گسترش وسیعی داشته و در بردارنده مخازن هیدروکربوری است. این حوضه درون قاره‌ای پس از بسته شدن اقیانوس پالئوتیس و تحت تأثیر کوه‌زایی سیمیرین پیشین در زمان تریاس میانی تشکیل شده است (روتر، ۱۹۹۳). سازند تیرگان به سن بارمین - آپتین از سنگ آهکهای ضخیم لایه تا توده‌ای آلیتی و بیوکلستی با میان‌لایه‌های نازک از سنگ آهکهای مارنی،

است. تعداد ۶۶ مقطع نازک در ناویدیس خور مطالعه و بر اساس طبقه‌بندی دانهام (۱۹۶۲) نام‌گذاری شده است. به منظور تفکیک دولومیت از کلیست از محلول آلیزارین قرمز (دیکسون، ۱۹۶۶) استفاده شده است.

۳۶°۴۵' تا ۳۶°۳۰' و عرضهای جغرافیایی ۶۰°۰۰' تا ۵۹°۴۵' واقع است.

هدف از انجام این پژوهش، شناسایی و تفکیک رخساره‌ها و چینه نگاری سکانسی سازند تیرگان در برشهای مورد مطالعه



شکل ۱: موقعیت جغرافیایی برشهای مورد مطالعه و عکس ماهواره‌ای منطقه مورد مطالعه، محل نمونه برداری مشخص شده است.

(بدولین)، پیشنهاد شده است. با توجه به مشاهدات صحرایی و پتروگرافی، رسوبات سازند تیرگان را در این برش می‌توان به دو قسمت تفکیک نمود:

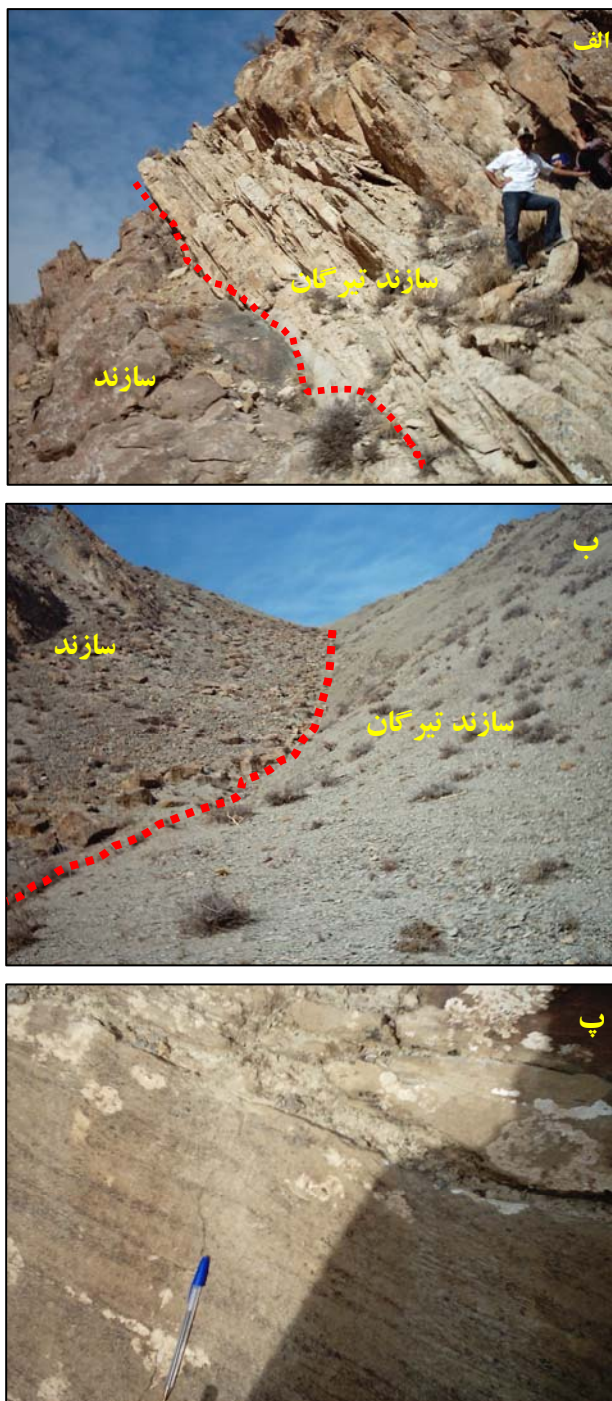
قسمت زیرین: این قسمت ۴۲ متر ضخامت داشته و شامل کالکارنایتهاي آلتي حاوي طبقه‌بندی مورب و کلسي لوتايتهاي لايه نازک همراه با ميان لايه‌هاي از شيل آهکي است. آهيدها در اندازه ماسه متوسط بوده و از فراوانی قابل ملاحظه‌اي برخوردارند. در سطح زمين ميان لايه‌هاي شيلي نازك لايه بسيار هوازده به همراه بلورهای پراكنده ريزپس قبل مشاهده است.

قسمت بالايي: اين قسمت ۲۴ متر ضخامت دارد. مقدار آهيدها در سنگ آهکهای این قسمت کمتر شده و بيشتر از کالکارنایتهاي آلتي فسييل دار تشکيل می‌گردد که حاوي لاميناسيون مورب هستند. سنگ آهکهای فسييل دار

چينه شناسی سازند تیرگان

سازند تیرگان در برش يال جنوب غربی ناویدیس خور عمده‌تاً از کالکارنایت و کلسي لوتايتهاي آلتي دی و بيوکلاستي با ميان لايه‌هاي از شيل آهکي تشکيل شده است که به تدریج به سمت بالا از ميزان آهيدها کاسته شده و سنگ آهکهای بيوکلاستي و اوريبيتونين دار افزایش می‌يابند. در اين برش نهشته‌های کربناته سازند تیرگان به طور مشخص بر روی رسوبات سيليسی آواری سازند شوريجه و در زير شيلهای سازند سرچشمه به طور هم‌شيب قرار می‌گيرند (شکل ۲، الف و ب). بر اساس مطالعات زيست چينه‌اي (ريوندی و همکاران، ۱۳۸۹) و با توجه به تشخيص ۱۱ جنس و ۸ گونه از روزن‌داران كفزي و ۴ جنس و ۳ گونه از جلبکهای سبز آهکی، سن رسوبات سازند تیرگان در منطقه مورد مطالعه، بارمين - آپتين زيرين

قسمت کاسته شده و بر میزان سنگ آهکهای بیوکلاستی افزوده شده است. از فسیلهای موجود در این طبقات می‌توان اوریتولین، براکیوپود، بریوزوئر، دوکفه‌ای، اکینودرم و به میزان بسیار کم گاستروپود را نام برد.



شکل ۲: (الف) مرز بین سازندهای شویجه و تیرگان (دید به سمت جنوب غرب)، (ب) مرز بین سازندهای تیرگان و سرچشم (دید به سمت شمال شرق)، (پ) لایه بندی مورب در کلسی لوتاپه‌های آهکی

خاکستری رنگ بوده و از نظر لایه بندی عمدتاً متوسط تا نازک لایه و دارای لامیناسیون مورب می‌باشد. کالکارناپهای آلیتی متوسط لایه نخودی رنگ بوده و علاوه بر آئید، دارای مقداری فسیل اوریتولین و براکیوپود نیز هست. کالکارناپهای آلیتی دانه متوسط در این قسمت حاوی لایه بندی مورب و کلسی لوتاپه‌ها دارای لامیناسیون افقی و لامیناسیون مورب (شکل ۲ پ) هستند.

ضخامت سازند تیرگان در برش شمال شرقی ناودیس خور، در حدود ۵۴ متر است که عمدتاً از سنگ آهکهای آلیتی و بیوکلاستی با میان لایه‌های نازکی از شیلهای هوازده تشکیل شده‌اند. به سمت بالا از میزان آئیدها کاسته شده و سنگ آهکهای بیوکلاستی افزایش می‌یابند. سنگ آهکها در این برش، به شدت تحت تأثیر دولومیتی شدن قرار گرفته و بنابراین از میزان آئیدها کاسته شده و بر خرددهای فسیلی افزوده می‌شود. مرز بالایی و پایینی سازند تیرگان با سازندهای سرچشم و شوریجه به صورت همسایب است. با توجه به بررسیهای صحراوی رسویات سازند تیرگان را در این برش نیز می‌توان به ۲ قسمت تفکیک نمود:

قسمت ذیرین: این قسمت ۲۶ متر ضخامت داشته و شامل کالکارناپهای آلیتی حاوی طبقه بندی مورب و کلسی لوتاپه‌های نازک لایه دولومیتی شده همراه با میان لایه‌های شیل آهکی می‌باشد. فرآیند دولومیتی شدن سنگ آهکها را به شدت تحت تأثیر قرار داده و بنابراین از فراوانی آئیدها و فسیلهای قابل مشاهده در صحراء کاسته شده است. شکستگی در سنگ آهکهای این قسمت زیاد دیده می‌شود. طبقات شیلی نازک لایه، خاکستری رنگ و دارای لامیناسیون افقی بوده و در سطح آنها فرسایش و خردشگی به چشم می‌خورد.

قسمت بالایی: ضخامت این قسمت ۲۸ متر است. این قسمت از کالکارناپهها و کلسی لوتاپه‌های نخودی رنگ متوسط لایه دولومیتی شده تشکیل شده است. از میزان آئیدها در این

أُثيد به ترتیب ۵ و ۲ درصد است (شکل ۳ پ). زیرخساره B2 (گرینستون اینتراکلاست دار) دارای اینتراکلاستهای با اندازه بزرگتر از 0.2 میلی‌متر و فراوانی ۴۵ درصد است. اینتراکلاستها بیشتر زاویه‌دار و حاوی گل آهکی‌اند. این دانه‌ها در برخی از نمونه‌ها حاوی خرددهای اسکلتی نظیر اکینودرم، بریوزوئر، برآکیوپود و روزن‌دار هستند (شکل ۳). این زیرخساره در صحراء دارای ساخت رسویی لامیناسیون مورب است. زیرخساره B3 (گرینستون 0.5 آهکی‌دار) دارای بیش از 50 درصد أُثید با قطر متوسط 0.5 میلی‌متر است. هسته أُوئیدها شامل اجزای اسکلتی مانند گاستروپود، بریوزوئر، اکینودرم، میلیولید، اوریتولین و اجزای غیراسکلتی مانند کوارتز و اینتراکلاست است. أُثیدها به شکلهای گرد، بیضی، کشیده و با ساختار متعدد مرکز، شعاعی و یا ترکیبی از هر دو هستند (شکل ۳ ث). این زیرخساره B4 (گرینستون 0.5 آهکی بیوکلاست دار) نیز دارای 45 درصد أُثید با قطر متوسط 0.4 میلی‌متر است. علاوه بر این دارای اکینودرم (5 درصد)، بریوزوئر (2 درصد)، *Textularia*, *Orbitolinids*, روزن‌داران کف‌زی مانند *Nautiloculina* و *Trocholina alpina*, Milliolids *oolithica* (2 درصد)، دوکفه‌ای (1 درصد)، برآکیوپود (1 درصد) و گاستروپود (1 درصد) است (شکل ۳ ج). این رخساره در صحراء به صورت کالکارنایتهای فسیل‌دار که دارای طبقه بندي مورب می‌باشند، قابل مشاهده است. زیرخساره B5 (گرینستون بیوکلاست دار) شامل بریوزوئر (40 درصد)، برآکیوپود (15 درصد) و اکینودرم (5 درصد) است و در برخی نمونه‌ها اوریتولین (5 درصد)، گاستروپود (5 درصد) و جلبک قرمز (کمتر از 1 درصد) نیز وجود دارد. أُثید با فراوانی 10 درصد و قطر متوسط 0.3 میلی‌متر، اینتراکلاست با فراوانی 7 درصد و قطر متوسط 0.2 میلی‌متر و پلت با فراوانی 5 درصد و قطر متوسط 0.1 میلی‌متر از

رخساره‌های سنگی

سازند تیرگان در منطقه مورد مطالعه از سه مجموعه رخساره سنگ آهکی A، B و C (شامل ۱۱ زیر رخساره) و دو رخساره آواری D1 و D2 تشکیل شده که به ترتیب کاهش عمق به شرح زیر است:

رخساره‌های کربناته

مجموعه A این مجموعه شامل ۲ زیر رخساره A1 و A2 است. در زیر رخساره A1 (وکستون بریوزوئردار) اجزای اسکلتی از تراکم بالابی برخوردار نبوده و بیشتر از 10 درصد بریوزوئر و 3 درصد اکینودرم تشکیل شده است که در زمینه گل آهکی شناورند. اجزای اسکلتی عمدتاً خرد شده بوده و در اندازه ماسه متوسطند (شکل ۳ الف). زیر رخساره A2 (پکستون اکینودرم‌دار) دارای 40 درصد اکینودرم، 5 درصد دوکفه‌ای، 3 درصد بریوزوئر، 2 درصد برآکیوپود و 2 درصد گاستروپود است. وجود لامیناسیون در سنگهای این مجموعه رخساره‌ای نشان دهنده انرژی پایین در زمان ته نشست بوده است. با توجه به فراوانی موجودات استنتووالین نظیر بیوکلها و اکینودرم و گل فراوان، این مجموعه احتمالاً در محیطی با انرژی پایین و زیر خط اثر امواج دریای باز (فلو گل، ۲۰۰۴؛ بچمن و هیرش، ۲۰۰۶) بر جای گذاشته شده است (شکل ۳ ب).

مجموعه B این مجموعه شامل ۵ زیر رخساره است. زیر رخساره B1 (گرینستون پلوئیدی بیوکلاست دار) از 45 درصد پلوئید با قطر 0.2 تا 0.5 میلی‌متر تشکیل شده است و فضای خالی بین دانه‌ها توسط سیمان کلسیت اسپاری متوسط بلور پر شده است. ذرات کوارتز در اندازه سیلت درشت به میزان کمتر از 10 درصد در این رخساره وجود دارد. ذرات اسکلتی این رخساره‌ها شامل دوکفه‌ای (2 درصد)، بریوزوئر (2 درصد)، برآکیوپود (1 درصد)، اکینودرم (1 درصد)، روزن‌داران کف‌زی (1 درصد) و جلبک سبز (کمتر از 1 درصد) است. فراوانی اینتراکلاست و

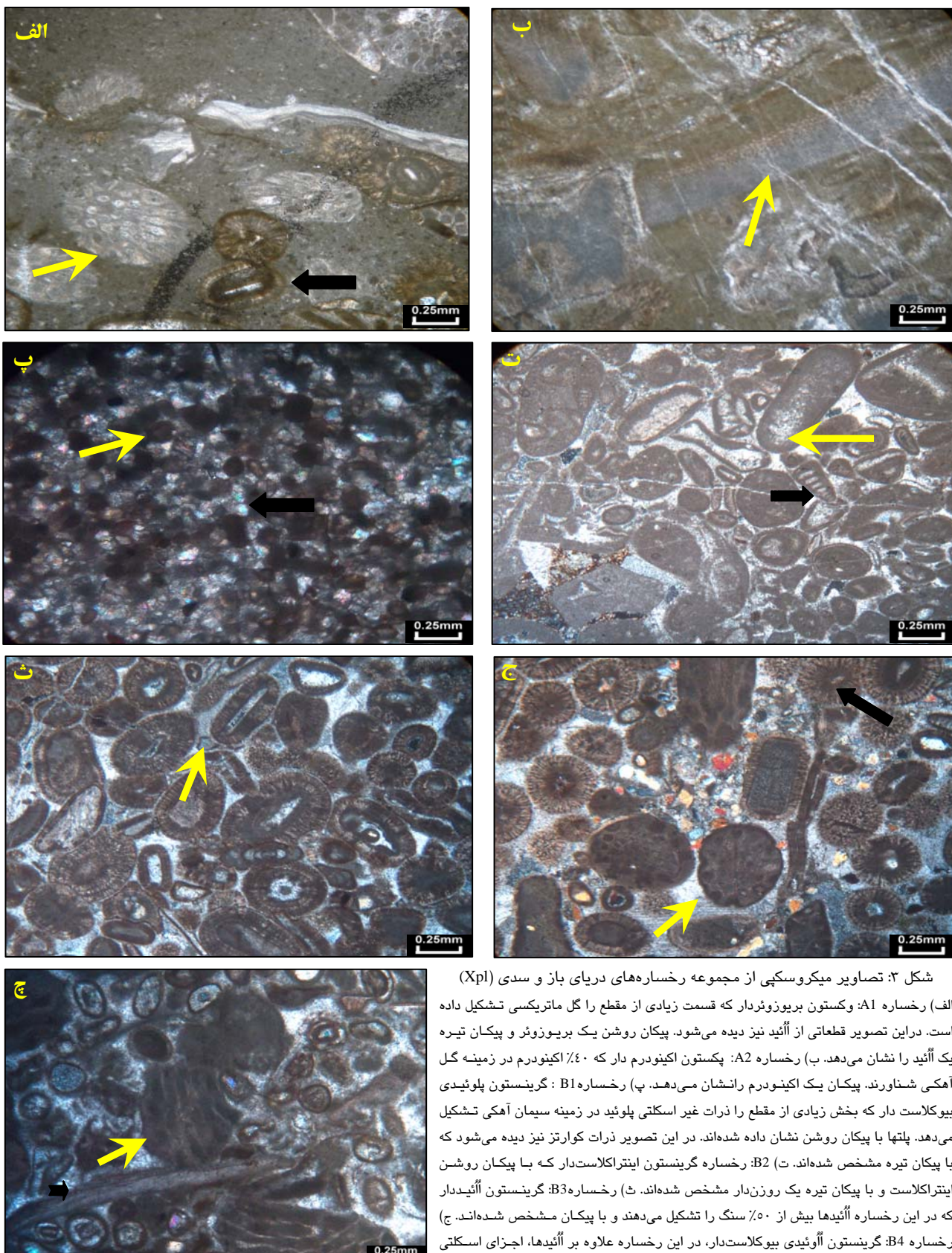
دلیلی بر حاکم بودن شرایط کم عمق دانست. از طرفی حضور اربیتولینهای مخروطی شکل با نسبت عرض به ارتفاع کم نشان دهنده شرایط محدود لاغونی است (هوسینک و همکاران، ۲۰۰۰؛ پیت و همکاران، ۲۰۰۲؛ یاسوهیرو و سانک، ۲۰۰۷). وجود دیگر روزن‌داران کفزی نظیر میلیولید و همچنین حضور جلبکهای سبز هم تشکیل این زیررخساره را در محیط لاغونی تأیید می‌نماید (بچمن و هیرش، ۲۰۰۶؛ پنی و ریسی، ۲۰۰۴). مقدار فراوان پلوئید (آدچی و همکاران، ۲۰۰۴) نیز مؤید رسوب‌گذاری این مجموعه در شرایط کم انژی لاغونی است.

مجموعه D: شامل دو زیررخساره است. زیررخساره D1 (رخساره شیلی) که شرایط تشکیل آنها به دلیل نبود فسیل وجود کانیهای تبخیری مانند ژیپس، پهنه جزر و مدی در نظر گرفته شده است. زیررخساره D2 (دولومادستون ماسه‌ای) حاوی دولومیتها ریزبلور، هم اندازه و شکل دار در حد ۲۰ تا ۵۰ میکرون است (شکل ۴ ث). اینتراکلستهای دولومیتی به همراه بلورهای منفرد کانیهای تبخیری در این رخساره وجود دارند. این رخساره در صحراء به صورت تناوبی از لایه بندي نازک تا متوسط رخمنون دارد و بیشتر در قسمتهای پایین بش دیده می‌شود. این تناوبها عمدتاً زرد رنگ تا نخودی هستند و به سمت بالای بش رنگ آنها تیره‌تر می‌شود.

با در نظر گرفتن محیط تشکیل هر یک از مجموعه‌های رخساره‌ای و تغییرات عمودی و جانبی آنها و همچنین بررسی الگوهای رسوی ارائه شده توسط کاروزی (۱۹۸۹) و تاکر (۲۰۰۱) و با در نظر گرفتن قانون والتر می‌توان مدل رسوی این رخساره‌ها را به صورت یک پلاتفرم کریباته کم عمق از نوع رمپ تفسیر نمود به طوری که در این پلاتفرم رسوبات مناطق کم عمق بدون تغییر مهمی در شیب بستر با رسوبات مناطق عمیق‌تر در ارتباط بوده‌اند (رید، ۱۹۸۵؛ بورچت و رایت، ۱۹۹۲).

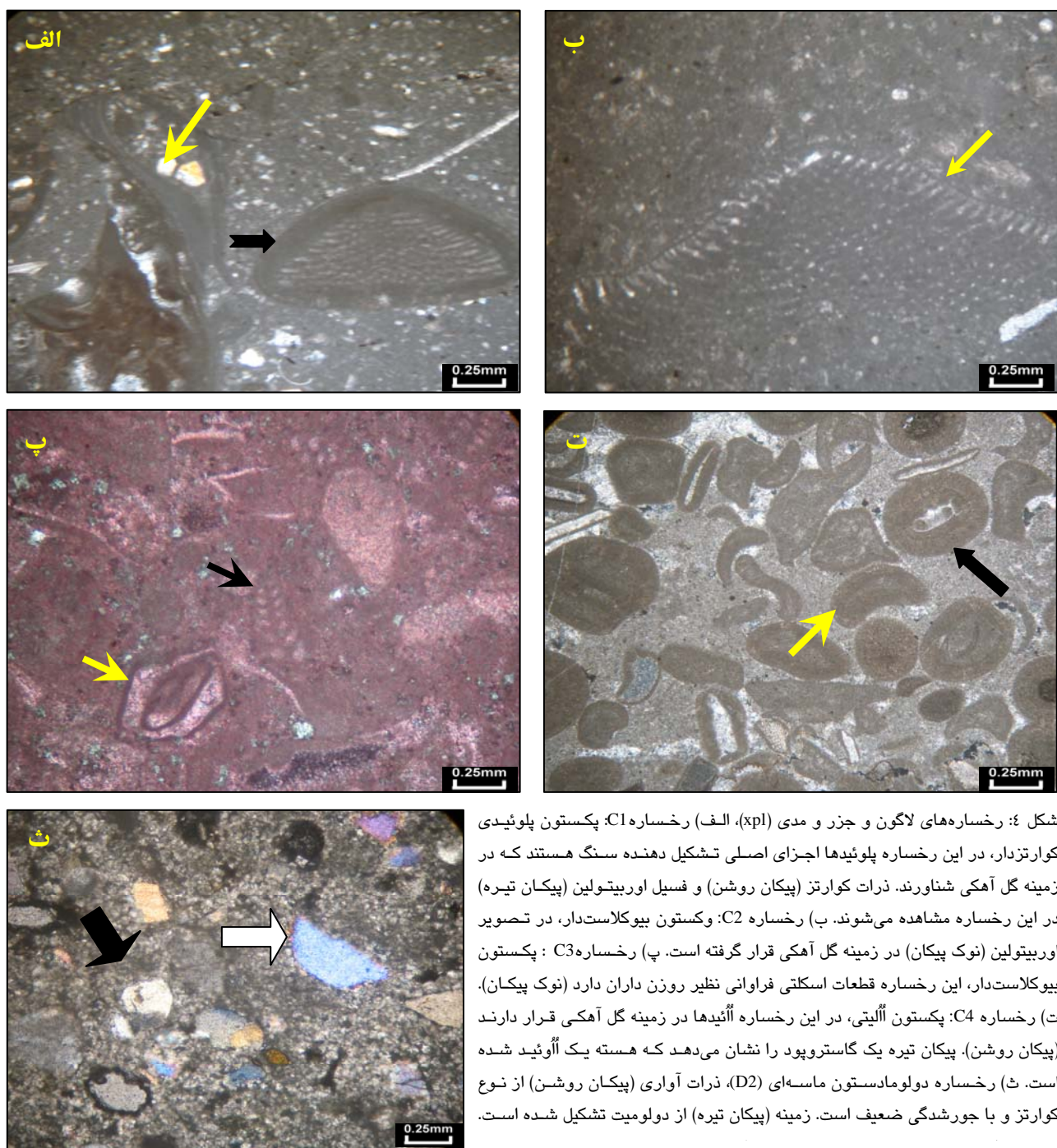
عناصر غیر اسکلتی معمول در این رخساره است. کوارتز با قطر متوسط 0.4 میلی متر و با فراوانی ۵ درصد نیز وجود دارد (شکل ۳ چ). این رخساره در سطح زمین به صورت کالکارنایتهای بیوکلاستی لایه متوسط خاکستری روشن قابل مشاهده است. به دلیل عدم وجود گل، حضور آئیند متحددالمرکز و اینتراکلاست (فلوگل ۲۰۰۴) و همچنین طبقه بندی مورب، این مجموعه در یک محیط پرانرژی سدی و در سمت اثر امواج بر جای گذاشته شده است.

مجموعه C: این مجموعه از ۴ زیررخساره تشکیل شده است. زیررخساره C1 (پکستون پلوئیدی کوارتزدار) دارای ۶۰ درصد پلوئید در اندازه $0.02 \text{ تا } 0.03 \text{ میلی متر}$ است. این پلتها دارای جورشدگی خوب و شکل یکنواخت هستند و احتمالاً منشأ مدفعی دارند. کوارتز بیشتر از ۱۰ درصد در این رخساره به چشم می‌خورد (شکل ۴ الف). این رخساره در سطح زمین به صورت کلسی لوتاپهای نازک لایه خاکستری روشن قابل مشاهده است که گاه حاوی رگهای کلسیتی است. زیررخساره C2 (وکستون بیوکلاستدار) حاوی اجزای اسکلتی نظیر اوریتولین (۳ درصد)، اکینودرم (۲ درصد) و دوکفه‌ای (۱ درصد) است (شکل ۴ ب). این رخساره در سطح زمین به صورت کلسی لوتاپیت متوسط لایه فسیل‌دار مشاهده می‌شود. زیررخساره C3 (پکستون بیوکلاستدار) دارای بیش از ۵۰ درصد اجزای اسکلتی در زمینه‌ای از گل آهکی است. این دانه‌ها شامل روزن‌داران کفزی (۳۰ درصد)، اکینودرم (۱۰ درصد)، دوکفه‌ای (۵ درصد)، براکیوپود (۵ درصد) و بریوزوثر (۳ درصد) است (شکل ۴ پ). زیررخساره C4 (پکستون الیتی) دارای ۴۰ درصد آئیند شعاعی در اندازه 0.05 میلی متر ، ۳ تا ۵ درصد اینتراکلاست با قطر متوسط 0.03 میلی متر ، روزن‌داران کفزی (۲ درصد)، اکینودرم (۲ درصد)، بریوزوثر (۲ درصد)، گاستروپود (۱ درصد) و جلبک سبز (کمتر از ۱ درصد) است (شکل ۴ ت). حضور اربیتولینها را می‌توان



شکل ۳: تصاویر میکروسکوپی از مجموعه رخساره‌های دریای باز و سدی (Xpl)

(الف) رخساره A1: وکستون بربیوزوژنار که قسمت زیادی از مقطع را گل ماتریکسی تشکیل داده است. در این تصویر قطعاتی از آنید نیز دیده می‌شود. پیکان روشن یک بربیوزوژن و پیکان تیره یک آنید را نشان می‌دهد. (ب) رخساره A2: پکستون آکینوئدرم دار که ۴۰٪ آنید در زمینه گل آهکی شناورند. پیکان یک آکینوئدرم را نشان می‌دهد. (پ) رخساره B1: گرینستون پلوئیدی بیوکلاست دار که بخش زیادی از مقطع را ذرات غیر اسکلتی پلوئید در زمینه سیمان آهکی تشکیل می‌دهد. پلتها با پیکان روشن نشان داده شده‌اند. در این تصویر ذرات کوارتز نیز دیده می‌شود که با پیکان تیره مشخص شده‌اند. (ت) رخساره گرینستون اینتراکلاست دار که با پیکان روشن اینتراکلاست و با پیکان تیره یک روزن دار مشخص شده‌اند. (ث) رخساره B3: گرینستون آنیددار که در این رخساره آنیدها بیش از ۵۰٪ سنگ را تشکیل می‌دهند و با پیکان مشخص شده‌اند. (ج) رخساره B4: گرینستون آنیدی بیوکلاست دار، در این رخساره علاوه بر آنیدها، اجزای اسکلتی نیز فراوانی دارند. آنید با پیکان تیره و بربیوزوژن با پیکان روشن نشان داده شده است. (ز) رخساره B5: گرینستون بیوکلاست دار، در این تصویر نیز بربیوزوژن با پیکان روشن و برآکیوپود با پیکان تیره نشان داده شده‌اند.



شکل ۴: رخساره‌های لagon و جزر و مدی (xpl)، الف) رخساره C1: پکستون پلوئیدی کوارتزدار، در این رخساره پلوئیدها اجزای اصلی تشکیل دهنده سنگ هستند که در زمینه گل آهکی شناورند. ذرات کوارتز (پیکان روشن) و فسیل اوربیتولین (پیکان تیره) در این رخساره مشاهده می‌شوند. ب) رخساره C2: پکستون بیوکلاستدار، در تصویر اوربیتولین (نوك پیکان) در زمینه گل آهکی قرار گرفته است. پ) رخساره C3: پکستون بیوکلاستدار، این رخساره قطعات اسکلتی فراوانی نظیر روزن داران دارد (نوك پیکان). ت) رخساره C4: پکستون الیتی، در این رخساره الیتها در زمینه گل آهکی قرار دارند (پیکان تیره). پیکان تیره یک گاستروپود را نشان می‌دهد که هسته یک اوئید شده است. ث) رخساره دولومادستون ماسه‌ای (D2)، ذرات آواری (پیکان روشن) از نوع کوارتز و با جور شدگی ضعیف است. زمینه (پیکان تیره) از دولومیت تشکیل شده است.

می‌شود. تغییرات نسبی سطح آب توسط تلفیقی از نوسانات یوستاتیکی و فرونژیکی یا بالا آمدگی کف حوضه کنترل می‌شود (کتزر، ۲۰۰۲). بررسی ساختمانهای رسوبی، میکروفاسیس و بافت میکروسکپی می‌تواند در شناخت سکانسهای رسوبی در توالی کمک کند (ایلماز و آلتینر، ۲۰۰۷). سکانسهای رسوبی شناسایی شده در هر یک از

چینه نگاری سکانسی

چینه نگاری سکانسی عبارت از تشخیص و تطابق تغییرات در روندهای رسوب گذاری در توالیهای سنگی (امبری، ۲۰۰۲) است. ته‌نشینی رسوبات و گسترش زمانی و مکانی آنها در حوضه بر اثر عملکرد بین میزان تأمین رسوب، فیزیوگرافی کف حوضه و تغییرات نسبی سطح دریا کنترل

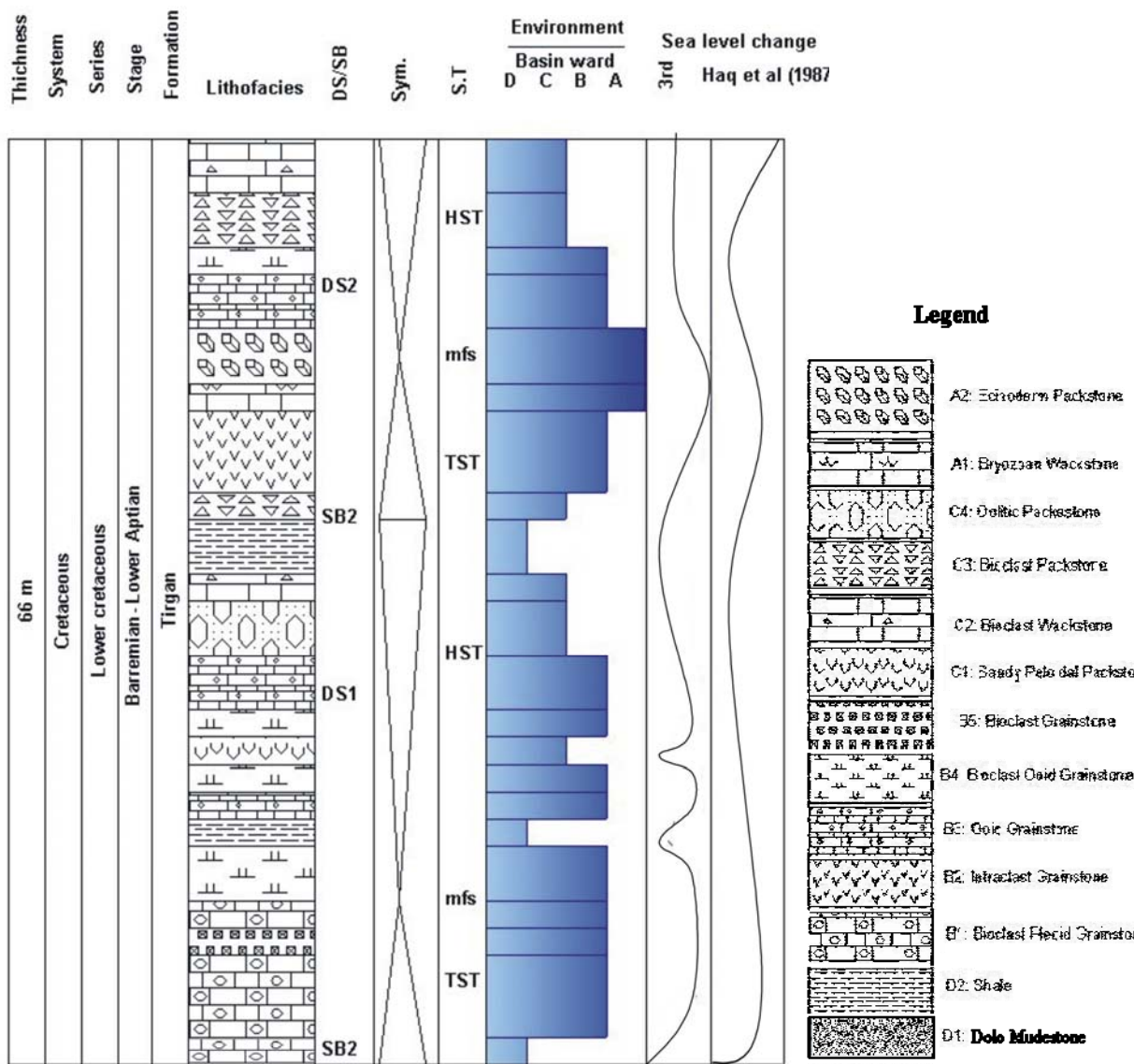
سمت بالا می‌باشد. دسته رخساره HST شامل رخساره‌های سدی، لاگونی و پهنه جزو مدي است. رخساره‌های سدی شامل انواع گرینستون الیتی، گرینستون الیتی بیوکلاست دار و رخساره‌های لاگونی شامل پکستون پلوئیدی کوارتزدار، پکستون الیتی و وکستون بیوکلاستی و رخساره‌های پهنه جزر و مدي عمدتاً شیل است. شیلها در صحراء به رنگ خاکستری روشن و به تورق کاملاً مشخص رختمون دارد. پولکهای ژیپس و اختصاصات ارائه شده مؤید این است که رخساره شیلی در شرایطی تشکیل شده است که بر اثر تبخیر بلورهایی از ژیپس ته نشست کرده‌اند (آب و هوای نسبتاً خشک) و نودولهایی از اکسید آهن در سطوح آنها قابل مشاهده است.

سکانس رسوبی دوم (DS2)، ۲۸ متر ضخامت داشته که با توجه به سن تشکیل سازند (ریوندی و همکاران، ۱۳۸۶؛ ریوندی و همکاران، زیر چاپ) و بدون در نظر گرفتن میزان ۳/۸ رسوب گذاری و نیز نسبت فشردگی، در مدت زمان ۱۴ میلیون سال تشکیل شده است. این سکانس نیز از دسته رخساره‌های TST و HST و هر کدام به ضخامت یکسان ۱۴ متر و احتمالاً مدت زمان یکسان ۱/۹ میلیون سال تشکیل شده است. قرار گرفتن رخساره‌های دریایی باز در رأس این دسته رخساره مؤید حداکثر سطح غرقابی است. دسته رخساره TST شامل رخساره لاگونی (پکستون بیوکلاستی)، رخساره سدی (گرینستون ایترکلاست دار) و رخساره‌های دریایی باز (وکستون بریوزوثردار و پکستون اکینودرم دار) می‌باشد. دسته رخساره HST شامل رخساره‌های سدی (گرینستون الیتی و گرینستون الیتی بیوکلاستی) و رخساره‌های لاگونی (پکستون و وکستون بیوکلاستی) است (شکل ۵). این سکانس شامل دو پاراسکانس عمیق شونده و یک پاراسکانس که کم عمق شدن حوضه را نشان می‌دهد، است.

یالهای ناویدیس خور به طور جدا در زیر تفسیر خواهد شد:

سکانسهای سازند تیرگان در برش یال جنوب غربی ناویدیس خور

سازند تیرگان در این برش با توجه به بررسیهای صحرایی و آزمایشگاهی و تعیین رخساره‌های رسوبی از دو سکانس رسوبی رده سوم تشکیل شده است که توسط مرزهای غیر فرسایشی نوع دوم (SB2) محصور شده‌اند. در این برش سازند تیرگان از دسته رخساره‌های TST و HST تشکیل شده است. سکانس رسوبی اول (DS1) ۳۸ متر ضخامت داشته و از دسته رخساره‌های TST و HST تشکیل شده است. این سکانس به صورت پیش‌رونده بر روی رسوبات سیلیسی آواری سازند شوریجه که در یک سیستم رودخانه‌ای ته‌نشین شده‌اند (موسوی حرمی، ۱۹۹۳) قرار می‌گیرد. مرز بین سازندهای شوریجه و تیرگان در منطقه مورد مطالعه به صورت هم شیب و تدریجی است. ضخامت دسته رخساره‌های TST و HST به ترتیب ۱۴ و ۲۴ متر بوده و با توجه به مدت زمان ته نشست سازند (هک و همکاران، ۱۹۸۷) و سن در نظر گرفته شده برای آن (بارمین پسین، آپتین پیشین) (ریوندی و همکاران، ۱۳۸۹) و بدون در نظر گرفتن میزان فشردگی، این دسته رخساره‌ها در طی زمان ۱/۹ و ۳/۳ میلیون سال بر جای گذاشته شده‌اند. دسته رخساره‌های مرحله پیش‌روی (TST) از رخساره‌های پهنه جزر و مدي تشکیل شده است که با رخساره‌های سدی شامل گرینستون پلوئیدی بیوکلاست دار و گرینستون الیتی بیوکلاست دار دنبال می‌شود. حداکثر سطح غرقاب در رخساره گرینستون الیتی بیوکلاست دار در نظر گرفته شده است. معمولاً در سطح حداکثر غرقابی، تسویه موجودات دریایی و حفظ آنها به حداکثر می‌رسد (کارواله و همکاران، ۲۰۰۶). بر روی این دسته رخساره، دسته رخساره HST قرار گرفته که شامل پاراسکانسهای کم عمق شونده به



شکل ۵: آنالیز چینه نگاری سکانسی و منحنی تفسیری تغییرات سطح آب دریا در سازند تیرگان در برش یال جنوب غربی.

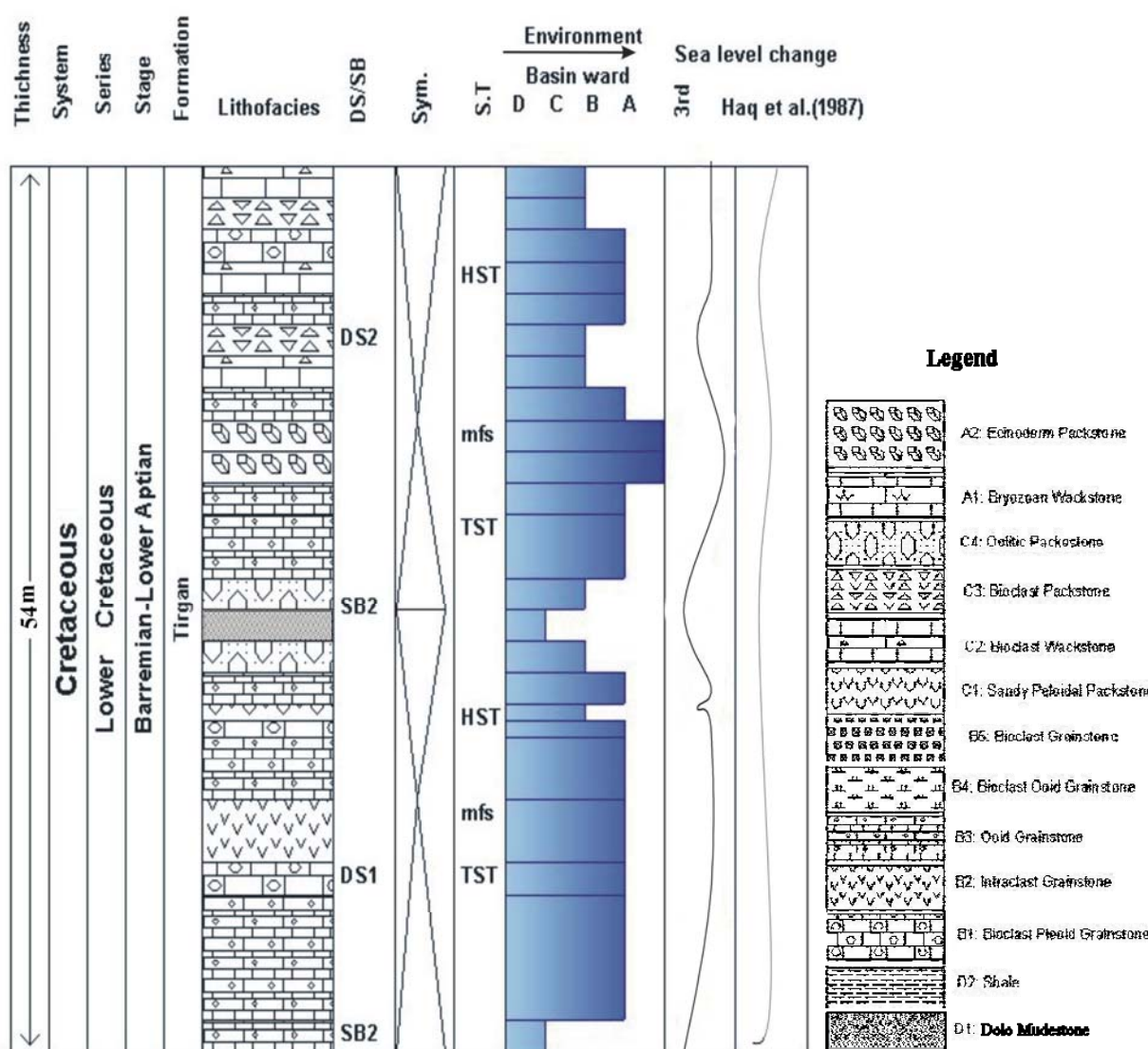
قاره‌ای باشد دیده نشده است. این حالت در مرز بین سازند آواری پسته لیق و سازند کربناته چهل کمان توسط محبوبی و همکاران (۲۰۰۱) شناسایی و به عنوان مرز سکانسی نوع دو تفسیر شده است. در انتهای رسویات مورد مطالعه، سازند سرچشمی با محیط دریایی عمیق بر روی سازند تیرگان قرار می‌گیرد. نمونه برداری از فصل مشترک سازند تیرگان و سرچشمی و همچنین نمونه برداری از مارنهای بخش ابتدایی سازند سرچشمی در ادامه روند نمونه برداری از سازند تیرگان بیانگر آن است که رخساره‌های محیط عمیق دریایی موجود

سکانسها رسوی سازند تیرگان در برش یال شمال شرقی ناوادیس خور

در این برش نیز دو سکانس رسوی DS1 و DS2 با مرز سکانسی نوع دوم (SB2) شناسایی شده است (شکل ۶). مرز بین سازند شوریجه و تیرگان که آغاز پیش‌روی را نشان می‌دهد به عنوان مرز پیش‌روی (TS) معرفی می‌گردد. در بین سازند شوریجه و تیرگان هیچ گونه آثار خروج از آب مانند فرسایش، خاک قدیمه، لایه‌های لاتریتی و بوکسیتی و دیگر شواهدی که نشان دهنده خروج از آب و تأثیر فرآیندهای

مدت زمان $1/3$ میلیون سال و دسته رخساره HST به ضخامت ۱۸ متر و مدت زمان ۳ میلیون سال می‌باشد. دسته رخساره TST از رخساره‌های سدی گرینستون الیتی تشکیل شده است و حداکثر سطح غرقابی با رخساره گرینستون الیتی مشخص می‌شود. دسته رخساره HST از رخساره‌های سدی، گرینستون الیتی بیوکلاست‌دار، گرینستون ایترکلاست‌دار، گرینستون الیتی و رخساره‌های لاغونی شامل وکستون پلوئیدی و پکستون الیتی و رخساره جزر و مدی شامل شیل تشکیل می‌شود. این دسته رخساره از سه پاراسکانس کم عمق شونده تشکیل شده است.

در توالی رسوبات سازند سرچشم به صورت پیوسته بر روی رخساره‌های مربوط به محیط لاغون در سازند تیرگان قرار گرفته است. سکانس رسوبی اول (DS1) در این برش با تغییر تدریجی رسوبات سیلیسی آواری و رودخانه‌ای سازند شوریجه به رسوبات کربناته سازند تیرگان آغاز می‌گردد و با رخساره پهنه جزر و مدی خاتمه می‌یابد. در زمان پایین بودن سطح آب ماسه سنگهای رودخانه‌ای سازند شوریجه بر روی مرز سکانسی نوع اول نهشته شده که در ادامه با پیش روی آب بر روی آن و عمیق شدن حوضه، رسوبات کربناته سازند تیرگان به صورت پیش روی (TST) بر روی آن نهشته می‌شوند. دسته رخساره TST به ضخامت ۸ متر و



شکل ۶: آنالیز چینه نگاری سکانسی و منحنی تفسیری تغییرات سطح آب دریا در سازند تیرگان در برش یال شمال شرقی.

نسبی دارد، به این ترتیب که در سکانس رسوی اول و در محل MFS و در مرز سکانس اول و دوم بین این دو منحنی هم‌خوانی دیده می‌شود.

نتیجه‌گیری

مطالعه و بررسی سازند تیرگان در ناودیس خور، در شرق حوضه کپه داغ نشان داده است که این سازند عمدتاً از سنگهای کربناته و مقدار کمی رسوبات شیلی تشکیل شده است. براساس مطالعات پتروگرافی، دوازده رخساره کربناته و یک رخساره آواری در سازند تیرگان در منطقه مورد مطالعه شناسایی شده است که در محدوده‌ای از پهنه جزرومدی تا دریای باز بر جای گذاشته شده‌اند. با توجه به تغییرات عمودی و جانبی رخساره‌ها، سازند تیرگان در یک پلاتفرم کربناته از نوع رمپ ته نشست کرده است. تغییرات سطح آب دریا به هنگام تشکیل سازند تیرگان (بارمین - آپتین پیشین)، در ۴ مرحله (پیش روی - پس روی) انجام شده است. براساس شناسایی دو مرز سکانسی نوع ۲، دو سکانس رسوی رده سوم شناسایی شده است. منحنی تغییرات سطح آب دریا در این ناحیه با منحنیهای جهانی انطباق نسبی دارند و اختلافات موجود عمدتاً به دلیل وضعیت ساختاری موضعی حوضه است.

سکانس DS2 با پیش روی سطح آب دریا و تشکیل رخساره TST شروع می‌شود. ضخامت دسته رخساره TST، برابر با ۱۲ متر و مدت زمان تشکیل آن در حدود ۲ میلیون سال و ضخامت دسته رخساره HST، برابر با ۱۶ متر و مدت زمان تشکیل آن ۲/۷ میلیون سال می‌باشد. دسته رخساره TST شامل رخساره لاغون، سدی و دریایی باز است. رخساره‌های دریایی باز شامل رخساره وکستون اکینودرم دار بوده و بر روی رخساره‌های سدی، گرینستون الیتی و گرینستون ایتراکلاست دار قرار گرفته و خود با رخساره‌های لاغونی (پکستون الیتی) پوشیده شده است. حداکثر سطح غرقابی در این سکانس با رخساره دریایی باز، که وکستون اکینودرم دار است، مشخص می‌شود. دسته رخساره HST شامل رخساره‌های سدی و لاغونی است. این دسته رخساره از دو پاراسکانس کم عمق شونده به سمت بالا تشکیل شده است. رخساره‌های سدی شامل گرینستون الیتی، گرینستون الیتی بیوکلاستی و گرینستون بیوکلاستی می‌شود و رخساره‌های لاغون شامل رخساره‌های پکستون بیوکلاست دار و وکستون بیوکلاست دار است (شکل ۶). چنان که اشاره شد در هر دو برش دو سکانس رسوی رده سوم وجود دارد که بیانگر تشابه در تغییرات سطح آب دریا در منطقه است. در هر دو برش منحنیهای سطح آب دریا با منحنیهای جهانی همخوانی

منابع

- افشارحرب، ع.، ۱۳۷۳، زمین شناسی کپه داغ. سازمان زمین شناسی و اکتشافات معدنی کشور، ۲۷۵ ص.
- ریوندی، ب.، نجفی، م.، موسوی حرمی، ر.، محبوی، ا.، وحیدی‌نیا، م.، موسوی‌زاده، م.ع.، ۱۳۸۶. چینه نگاری زیستی و سکانسی سازند تیرگان در ناودیس خور در شمال شرق مشهد. یازدهمین همایش انجمن زمین شناسی ایران، صفحه ۵۶۳.
- ریوندی، ب.، نجفی، م.، موسوی حرمی، ر.، محبوی، ا.، وحیدی‌نیا، م.، ۱۳۸۹. چینه نگاری زیستی سازند تیرگان در دو ناحیه جوزک و چمن بید واقع در غرب حوضه رسوی کپه داغ. مجله پژوهش‌های چینه نگاری و رسوی شناسی دانشگاه اصفهان، (زیر چاپ).

Adachi, N., Ezaki, Y. & Liu, J., 2004. The origins of peloids immediately after the end-Permian extinction, Guizhou Province, South China. *Sedimentary Geology*, 164: 161-178.

- Bachmann, M. & Hirsch, F., 2006. Lower Cretaceous carbonate platform of the eastern Levant (Galilee and the Golan Heights): stratigraphy and second-order sea-level change. *Cretaceous Research*, 27: 487-512.
- Burchette, T.P., & Wright, V.P., 1992. Carbonate ramp depositional systems. *Sedimentary geology*, 79: 3-35.
- Carozzi, A.V., 1989. Carbonate Rock Depositional Model: A Microfacies Approach. *Prentice-Hall*, 604 p.
- Carvalho, M.V.F., Ros, L.F.D., & Gomes, N.S., 2006. Carbonate cementation patterns and diagenetic reservoir facies in the Campos Basin Cretaceous turbidites, offshore eastern Brazil. *Marine and Petrol. Geol.*, 22 (7): 741-758.
- Dickson, J.A.D., 1966. Carbonate identification and genesis as revealed by staining. *Journal of Sedimentary Petrology*, 36: 441-505.
- Dunham, R.J., 1962. Classification of carbonate rocks according to depositional texture. In: Ham, W.E., (Ed.), Classification of Carbonate Rocks. *American Association of Petroleum Geologists Memoir* 1: 108-121.
- Embry, A.F., 2002. Transgressive-Regressive (T-R) Sequence Stratigraphy. *22nd Annual Gulf Coast Section, SEPM Foundation Bon F. Perkins Research Conference*, p. 151-172.
- Flügel, E., 2004. Microfacies Analysis of Carbonate Rocks, Analyses, Interpretation and Application. *Springer-verlag*, Berlin, 976 p.
- Haq, B.U., Hardenbol, J. & Vial, P.R., 1987. Chronology of fluctuating sea level. *Science*, 235: 1156-1167.
- Husinec, A., Velic, I., Fucek, L., Vlahovic, I., Maticec, D., Ostric, N., & Korbar, T., 2000. Mid-Cretaceous orbitolinid (Foraminiferida) record from the islands of Cres and Losinj (Croatia) and its regional stratigraphic correlation. *Cretaceous Research*, 21: 155- 171.
- Ketzer, J.M.M., 2002. Diagenesis and Sequence Stratigraphy, Comprehensive Summaries of Uppsala. Dissertations from the Faculty of Science and technology, no. 762, *University of Uppsala*, Uppsala, 30 p.
- Penney, S.J., & Racey, A., 2004. Ecology of extant nummulitids and other larger benthic foraminifera: applications in palaeoenvironmental analysis. *Earth Science Reviews*, 67: 219-265.
- Mahboubi, A., Moussavi-Harami, R., Brenner, R.L. & Gonzalez, L.A., 2001. Diagenetic history of the Late Paleocene potential carbonate reservoir rocks, Kopet-Dagh Basin, NE Iran. *Jurnal of Petroleum Geology*, 25: 465-484.
- Moussavi-Harami, R., 1993. Depositional history and paleogeography of the Lower Paleocene red beds in eastern Kopet-Dagh basin northeastern Iran. *Journal of Sciences, Islamic Republic of Iran*, 4: 126-143.
- Pittet, B., Van Buchem, F.S.P., Hillgartner, H., Razin, P., Grotsch, J., & Droste, H., 2002. Ecological succession, palaeoenvironmental change and depositional sequences of Barremian-Aptian shallow water carbonates in northern Oman. *Sedimentology*, 49: 555-581.
- Read, J.F., 1985. Carbonate platform facies models. *American Association Petroleum Geology, Bulletin* 69: 1-12.
- Ruttner, A.W., 1993. Southern borderland of Triassic Laurasia in northeast Iran. *Geol. Rund.*, 82: 110-120.
- Tucker, M.E., 2001. Sedimentary Petrology (3rd edition). *Blackwell*, Oxford, 260 p.
- Yilmaz, I.O., & Altiner, D., 2007. Cyclostratigraphy and sequence boundaries of inner platform mixed carbonate-siliciclastic successions (Barremian-Aptian) (Zonguldak, NW Turkey). *Journal of Asian Earth Sciences*, 30: 253-270.